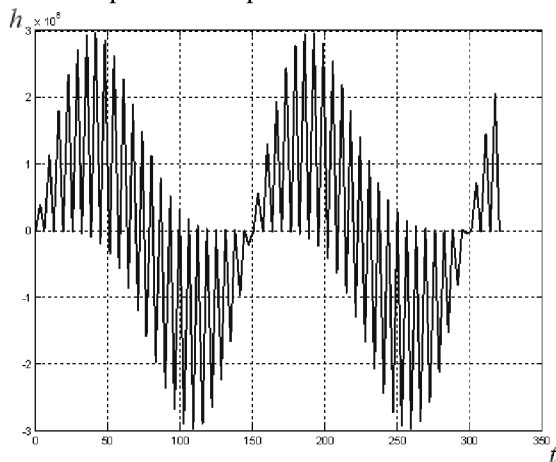


стационарную. При этом возникают колебания системы «колесо-опорная поверхность», обусловленные её свойствами накапливать полную механическую энергию с последующим расходованием на формирование опорной поверхности.



**Рисунок 5 - Характеристика полной механической энергии системы «колесо-опорная поверхность»**

### **Выводы**

Характеристики (амплитудно-частотные и фазочастотные) формирования опорной поверхности определяется геометрическими соотношениями опорно-приводного вала и обода колеса, а также силами трения, возникающими при трансформации связи.

### **Литература**

1. Сергеев А.И., Чёрный И.В. Математическая модель формирования опорной поверхности движения колесом перекатывающегося типа. Известия МГТУ "МАМИ" № 2 (6), 2008. с. 74-78.
2. Сергеев А.И., Шарипов В.М. Транспортное средство. Патент РФ № 2245259. Опубл. 27.01.2005. Бюл. № 33.
3. Выгодский М.Я. Справочник по высшей математике. М., 1977, 872 с.
4. Сергеев А.И. Определение общей характеристики формирования опорной поверхности движения и обоснование конструктивного исполнения движителя перекатывающегося типа. // Колёсные и гусеничные машины. Межвузовский сборник научных трудов. Вып. 1. - М.: МГТУ «МАМИ», с. 334-357.
5. Сергеев А.И. Влияние ведущего режима качения колеса на формирование опорной поверхности движения. Известия МГТУ «МАМИ». Научный рецензируемый журнал. – М., МГТУ «МАМИ», № 1(11), 2011.

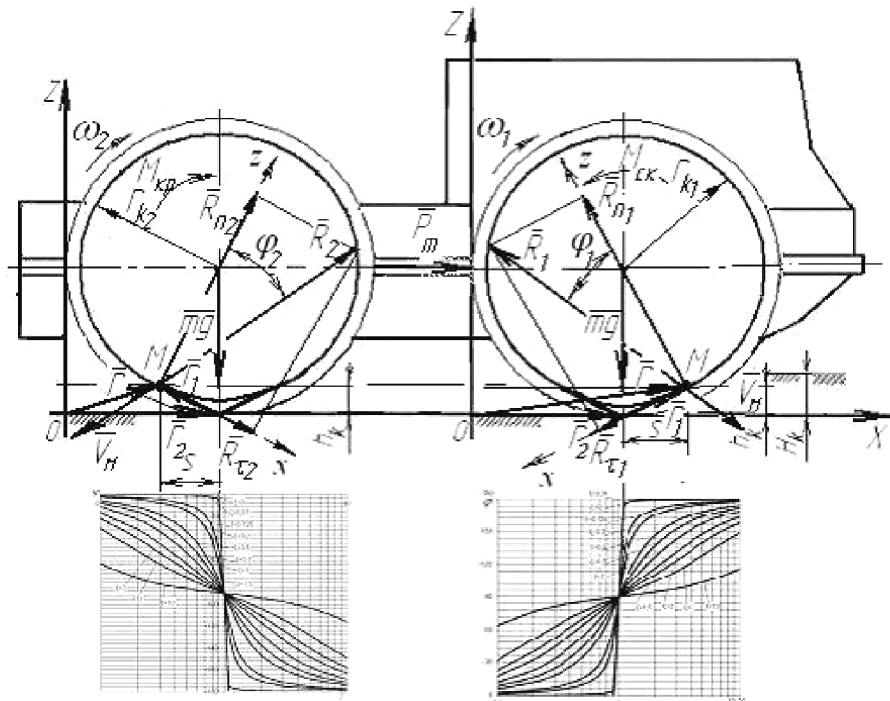
### **Анализ формирования опорной поверхности заднеприводным колёсным шасси 4×2 с упругой схемой подведения силового потока**

к.т.н. доц. Сергеев А.И.  
Университет машиностроения  
(495) 223 05 23 доб. 1527, [trakvc@mami.ru](mailto:trakvc@mami.ru)

**Аннотация.** Рассмотрен процесс формирования опорной поверхности колёсным шасси 4×2 с упругой схемой подведения силового потока. Разработана методика расчёта тягово-цепных свойств, амплитудно-частотных и фазочастотных характеристик движения системы «колесо-опорная поверхность». Получена передаточная функция, устанавливающая связь выходных и входных параметров, позволяющая спроектировать измерительно-информационную бортовую систему транспортного средства с определением её параметров (зоны нечувствительности измерительного комплекса по параметрам движения ТС, диапазоны измерений и характеристики датчиков и приборов и др.).

**Ключевые слова:** колёсное шасси, опорная поверхность, силовой поток, измерительно-информационная система, амплитудно-частотная характеристика, фазо-частотная характеристика

Движение шасси ( $4 \times 2$ ) осуществляется с помощью крутящего момента, подводимого на задние колёса [1]. Передние колёса, являясь не приводными, через раму нагружают задние продольной силой  $\bar{P}_{\text{пр}}$ , равной силе сопротивления движению  $\bar{P}_{f_2}$ . Это вызывает буксование задних колес, а неприводные передние под действием толкающего усилия со стороны задних колёс перекатываются со скольжением (рисунки 1 и 2).

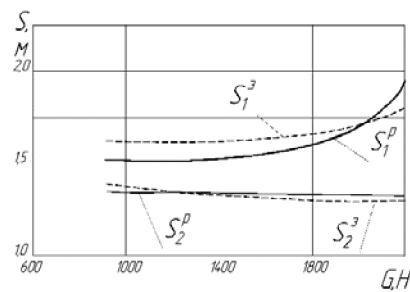


**Рисунок 1 - Расчётная схема формирования опорной поверхности колесным шасси ( $4 \times 2$ ) с приводом на задний мост**

Скольжение (юз) передних колёс обусловлено положительным смещением мгновенного центра давления (точки  $M$ ) вперёд по ходу движения шасси и соответствующей величиной угла трения  $\varphi_1$  (рисунок 1). Причём, как следует из графика (рисунок 2), с увеличением вертикальной нагрузки действительный путь колеса резко возрастает и, как показывают экспериментальные исследования [2], траектория деформации поверхности движения описывается уравнением укороченной циклоиды [3]:

$$x = r \cdot (\varphi - \lambda \cdot \sin \varphi), \quad y = r \cdot (1 - \lambda \cdot \cos \varphi), \quad (1)$$

где:  $\lambda < 1$ .



**Рисунок 2 - Зависимость изменения пути колес ( $S$ ) от нормальной нагрузки ( $G$ ) колесного шасси с приводом на задние колёса ( $4 \times 2$ )**

Определим тягово-цепные свойства плоского движения колёс шасси  $4 \times 2$  по методике расчёта, приведенной ниже.

Общая сила сопротивления движению колёс шасси определяется из уравнения (2):

$$P_{f\Sigma} = \frac{1}{2} \cdot k \cdot b \cdot (H_1 + H_2)^2, \quad (2)$$

- для колёс переднего моста –  $P_{f1} = \frac{1}{2} \cdot k \cdot b \cdot H_1^2$ ,
- для колёс заднего моста –  $P_{f2} = P_{f\Sigma} - P_{f1}$ .

Коэффициент скольжения (юза) передних колёс шасси определяется по формуле (3):

$$\varepsilon = \frac{S_1 - 2\pi r_\kappa}{2\pi r_\kappa} \cdot 100\%. \quad (3)$$

Коэффициент буксования задних колёс шасси определяется по формуле (4):

$$\delta = \frac{2\pi r_\kappa - S_2}{2\pi r_\kappa} \cdot 100\%. \quad (4)$$

Путь передних колёс  $S_1$  шасси за один оборот рассчитываем по формуле (5):

$$S_1 = 2\pi r_\kappa + r_\kappa \cdot \left[ \operatorname{tg}\left(\frac{\Phi_1}{2} + \frac{\pi}{4}\right) - \sin \Phi_1 - 1 \right]. \quad (5)$$

Путь задних колёс  $S_2$  шасси за один оборот рассчитываем по формуле(6):

$$S_2 = 2\pi r_\kappa - r_\kappa \cdot \left[ \operatorname{tg}\left(\frac{\Phi_2}{2} + \frac{\pi}{4}\right) - \sin \Phi_2 - 1 \right]. \quad (6)$$

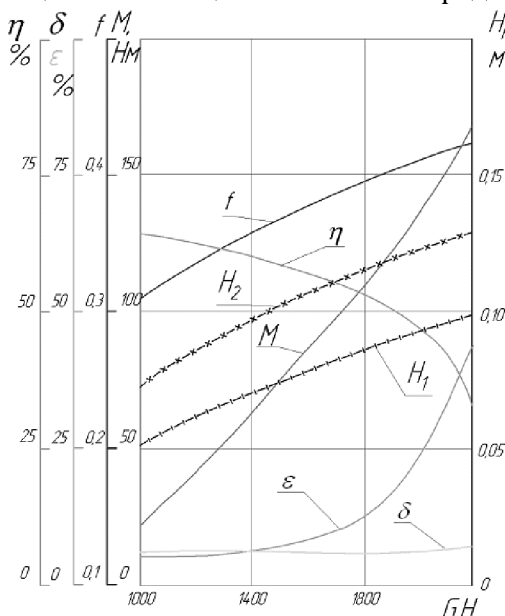
В этом случае углы трения передних колёс  $\Phi_1$  и задних колёс  $\Phi_2$  определяются по формулам (7):

$$\Phi_1 = 2 \cdot \operatorname{arctg} \frac{P_{f1}}{G}, \quad \Phi_2 = 2 \cdot \operatorname{arctg} \frac{P_{f2}}{G}. \quad (7)$$

Коэффициент полезного действия для задних колёс шасси 4×2 равен:

$$\eta = (1 - f) \cdot (100 - \delta). \quad (8)$$

Графическая интерпретация тягово-цепных свойств представлена на рисунке 3.



**Рисунок 3 - Зависимость крутящего момента ( $M$ ), глубины колеи ( $H_k$ ), коэффициентов сопротивления качению ( $f$ ), буксования ( $\delta$ ) скольжения ( $\varepsilon$ ) и КПД ( $\eta$ ) от нормальной нагрузки ( $G$ ) шасси с (4×2) с приводом на задние колёса**

Качественная оценка движения системы «колесо-опорная поверхность» для шасси с приводом на задние колёса может быть представлена амплитудно-частотными и фазо-частотными характеристиками, определяемыми по уравнениям (9) и (10):

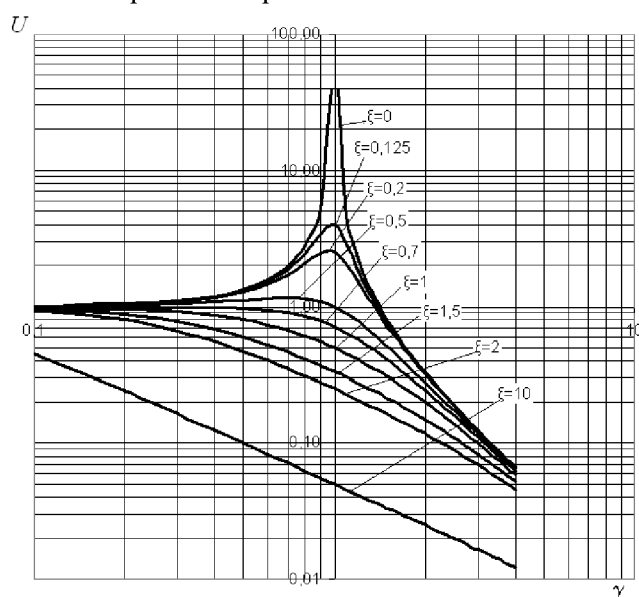
$$u = \frac{1}{\sqrt{(1-\gamma^2)^2 + 4 \cdot \xi^2 \cdot \gamma^2}}. \quad (9)$$

$$\varphi = -\arctg \frac{K_d \cdot \delta}{C_k - J \cdot \delta^2}. \quad (10)$$

Анализ амплитудно-частотных характеристик показывает, что с увеличением относительной частоты  $\gamma = \delta/\omega_0$  амплитуда системы «колесо-опорная поверхность» возрастает.

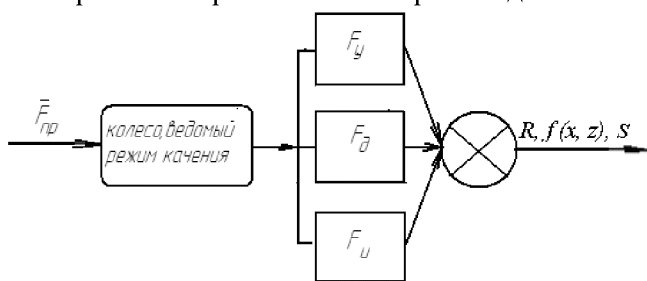
При этом коэффициент  $\xi = \frac{K_d}{2 \cdot \sqrt{J \cdot C_k}}$ , определяющий степень успокоения системы, убывает и при стремлении его к нулю возможен амплитудно-частотный резонанс. В этом случае возможен отрыв колес шасси от опорной поверхности.

На рисунке 4 представлена графическая интерпретация фазо-частотных характеристик (ФЧХ) передних и задних колёс, устанавливающих зависимость сдвига фаз между векторами входной и выходной величин, которые в рассматриваемом случае определяют характеристику смещения системы «колесо-опорная поверхность».



**Рисунок 4 - Амплитудно-частотная характеристика формирования опорной поверхности в ведущем режиме движения колеса**

Для создания бортового измерительно-информационного комплекса должна быть известна передаточная функция, устанавливающая связь между выходными и входными параметрами формирования опорной поверхности и их производными.



**Рисунок 5 - Структурная схема явления формирования опорной поверхности колесом в ведомом режиме**

Составим структурную схему формирования опорной поверхности для ведомого режима движения колеса (рисунок 5).

Применимально к схеме (рисунок 5) за выходную величину примем смещение  $s$  (скольжение) системы, а за входную величину – противодействующую скоростную силу  $\bar{F}_c$ , или силу сопротивления движению колеса, равную по модулю и направлению продольной силе  $\bar{P}_{\text{пр}}$ , приложенной к оси колеса, которая зависит от реакции  $\bar{R}$  опорной поверхности, равной [4]:

$$|\bar{R}| = \sqrt{32x^2(z-b+p)^2 + 2 + 2 \frac{(z-b+p)^2 16x^4 - p(z-b)[16x^2(z-b+p)^2 + 1]}{\sqrt{x^2 + p^2} \sqrt{x^2 + (z-b)^2}} + 1}, \quad (11)$$

$$\begin{aligned} \bar{R} &= \sqrt{2} \sqrt{16x^2(z-b+p)^2 + \frac{(z-b+p)^2 16x^4 - p(z-b)[16x^2(z-b+p)^2 + 1]}{\sqrt{x^2 + p^2} \sqrt{x^2 + (z-b)^2}} + 1} \\ \bar{R} &= \left( \frac{-4px(z-b+p) + x}{\sqrt{x^2 + p^2}} + \frac{4x(z-b)(z-b+p) + x}{\sqrt{x^2 + (z-b)^2}} \right) \bar{l} + \\ &+ \left( -\frac{4x^2(z-b+p)}{\sqrt{x^2 + p^2}} - \frac{4x^2(z-b+p) - z + b}{\sqrt{x^2 + (z-b)^2}} \right) \bar{k}. \end{aligned} \quad (12)$$

Составим уравнение действующих сил формирования опорной поверхности колесом в соответствии со схемой, приведенной на рисунке 5.

$$\bar{P}_{\text{пр}} = \bar{F}_y + \bar{F}_d + \bar{F}_i, \quad (13)$$

где:  $\bar{F}_y$  – упругая сила, возникающая при деформации грунта (при переупаковке частиц грунта);

$\bar{F}_d$  – демпфирующая сила, возникающая при выдавливании связанной влаги и газо-воздушной смеси;

$\bar{F}_i$  – инерционная сила, модуль которой определяется инерционными массами подвижной системы.

Упругая сила определяется величиной смещения системы:

$$\bar{F}_y = c_{\text{ж}} \cdot s, \quad (14)$$

где:  $c_{\text{ж}}$  – приведенная линейная жёсткость системы, [ $H/m$ ], учитывающая действие всех упругих сил и определяемая из условия равенства работы совершающей упругой силой  $\bar{F}_y$  на элементарном линейном перемещении  $ds$  из уравнения:

$$|F_y| ds = \sum_{i=1}^n |P_{yi}| ds_i + \sum_{j=1}^m |M_{yj}| d\varphi_j,$$

где:  $n$  – количество элементарных упругих сил;

$m$  – количество элементарных упругих моментов.

Для установившегося режима качения  $\frac{ds_i}{ds} = \text{const}$ ,  $\frac{d\varphi_j}{ds} = \text{const}$ , и, следовательно,

приведенная линейная жёсткость будет равна:

$$c_{\text{ж}} = \sum_{i=1}^n c_i \left( \frac{ds_i}{ds} \right)^2 + \sum_{j=1}^m C_j \left( \frac{d\phi_j}{ds} \right)^2.$$

Демпфирующая сила зависит от скорости деформации поверхности движения, которая может быть представлена уравнением вида:

$$T \cdot \dot{F}_{\text{д}} + F_{\text{д}} = k_{\text{д}} \cdot \dot{s}, \quad (15)$$

где:  $k_{\text{д}}$  – приведенный коэффициент демпфирования, равный:

$$k_{\text{д}} = \sum_{i=1}^n k_i \left( \frac{ds_i}{ds} \right)^2 + \sum_{j=1}^m K_j \left( \frac{d\phi_j}{ds} \right)^2.$$

Инерционная сила пропорциональна ускорению системы:

$$F_{\text{и}} = m \cdot \ddot{s}, \quad (16)$$

где:  $m$  – приведенная масса движущейся системы.

Из совместного решения уравнений (13), (14), (15) и (16) получим общее дифференциальное уравнение движения системы «колесо-опорная поверхность»:

$$T \cdot m \cdot \ddot{s} + m \cdot \ddot{s} + (k_{\text{д}} + T \cdot c_{\text{ж}}) \cdot \dot{s} + c_{\text{ж}} = T \cdot \dot{F}_{\text{с}} + \bar{F}_{\text{с}}, \quad (17)$$

откуда ее передаточная функция имеет вид:

$$W(p) = \frac{|s(p)|}{F_{\text{с}}(p)} = \frac{T \cdot p + 1}{T \cdot m \cdot p^3 + m \cdot p^2 + (k_{\text{д}} + T \cdot c_{\text{ж}}) \cdot p + c_{\text{ж}}}, \quad (18)$$

где:  $p$  – оператор преобразования Лапласа;

$T$  – постоянная времени, сек.

Таким образом, зная передаточную функцию, можно спроектировать измерительно-информационную бортовую систему транспортного средства с определением её параметров (зоны нечувствительности измерительного комплекса по параметрам движения ТС, диапазоны измерений и характеристики датчиков и приборов и т.д.).

#### Литература

- Сергеев А.И. Влияние ведущего режима качения колеса на формирование опорной поверхности движения. Известия МГТУ «МАМИ». Научный рецензируемый журнал. – М., МГТУ «МАМИ», № 1 (11), 2011.
- Сергеев А.И. Стенд для определения коэффициента сопротивления качению и тягово-цепных свойств колесных шасси // Автоматизация и комплексная механизация производственных процессов лесопромышленных предприятий: Сб. научн. тр. / МЛТИ. - М., 1982. - № 142. -с.99-104.
- Выгодский М.Я. Справочник по высшей математике. М., 1977г., 872 с.
- Сергеев А.И., Чёрный И.В. Математическая модель формирования опорной поверхности движения колесом перекатывающегося типа. Известия МГТУ "МАМИ" № 2 (6), 2008. С. 74-78.

#### Применение электрогидродинамического двигателя на транспортных средствах

д.т.н. проф. Соколов В.К.  
Университет машиностроения  
(495)2230523\*1444

**Аннотация.** В статье рассматривается электрогидродинамический двигатель, для работы которого не требуется углеводородное топливо. Работа двигателя основана на электрическом разряде в незамерзающей жидкости, расположенной в надпоршневой полости цилиндра. По данным расчетов кПД такого двигателя мо-